

КРАТКИЕ СООБЩЕНИЯ

УДК 539.26:544.142.4:547.831

СТРОЕНИЕ НОВОЙ 8-ГИДРОКСИХИНОЛИНОВОЙ ЛИГАНДНОЙ СИСТЕМЫ  
С 1,3-ТРОПОЛОНОВЫМ ФРАГМЕНТОМ

В. В. Ткачёв, Г. В. Шилов, С. М. Алдошин

Институт проблем химической физики РАН, Черноголовка, Московская обл., Россия  
E-mail: vatka@icp.ac.ru

Статья поступила 12 октября 2015 г.

Исследовано строение двух новых производных 8-гидроксихинолина с 1,3-трополоновым фрагментом во втором положении хинолинового кольца как перспективно новой полидентатной системы с расширенными координационными возможностями.

DOI: 10.15372/JSC20160829

**Ключевые слова:** 8-гидроксихинолин, 1,3-трополоны, рентгеноструктурный анализ, перспективы комплексообразования, перспективно новая полидентатная система с расширенными координационными возможностями.

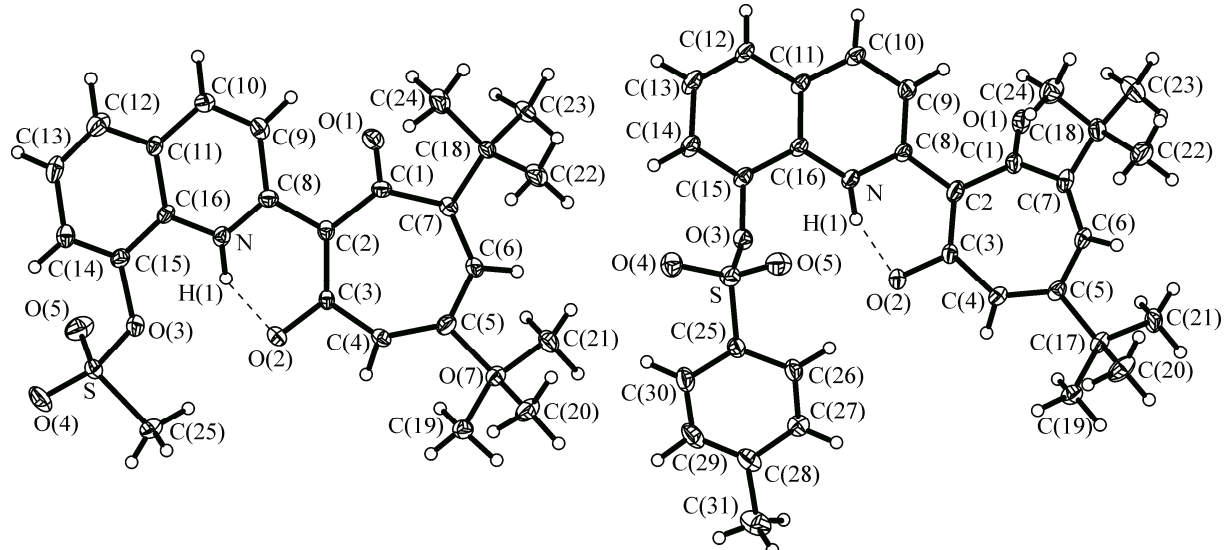
Ранее показано [ 1 ], что конденсация 3,5-ди-(*трем*-бутил)-1,2-бензохинона с 2-метиленхинонами приводит не к *o*-метиленхинонам, а к ранее неизвестным  $\beta$ -трополонам, что расширило спектр применения этой реакции на другие пространственно-затрудненные *o*-хиноны и открыло путь к получению систематических серий ранее недоступных 2-замещенных 1,3-трополонов, поскольку высокая реакционная способность в сочетании с относительной термической стабильностью, характерной для пространственно-затрудненных хинонов, делают их особенно привлекательными для получения новых типов соединений, которые могут обладать практически полезными свойствами, в том числе и высокой биологической активностью, зависящей от природы периферических фрагментов и их положения в семичленном кольце [ 2, 3 ]. В частности, трополон и его производные являются перспективными противоопухолевыми соединениями [ 4 ]. Учитывая широкое использование 8-гидроксихинолина и его производных в качестве хелатирующих лигандных систем для получения разнообразных фото- и электролюминесцентных металлокомплексов [ 5 ], высокоселективных флуоресцентных хемосенсоров на катионы металлов [ 6 ], а также в связи с их высокой биологической активностью предпринята попытка расширения координационных возможностей данной лигандной системы. Следует отметить, что все попытки получить комплекс с использованием хелатного цикла N—C—C—C—O в исследованных  $\beta$ -трополонах не увенчались успехом.

С целью получения новой перспективно полидентатной лигандной системы на основе 8-гидроксихинолина с 1,3-трополоновым фрагментом во втором положении хинолинового кольца разработан оригинальный трехстадийный метод синтеза, подробно описанный в [ 7 ] и где для одного из продуктов — 5,7-ди(*трем*-бутил)-2-(8-гидроксихинолин-2-ил)-1,3-трополона приведены результаты рентгеноструктурного исследования и показано, что наличие в монокристалле молекул растворителя в соотношении 1:1 и участие атома водорода OH-группы в 8 положении 8-гидроксихинолиновой лигандной системы в реализации водородной связи молекула—растворитель вызвало разворот атома водорода OH-группы в сторону, противоположную трополоновому циклу. В данной работе сообщается о рентгеноструктурном исследовании его метил- (I)

и толил-сульфонилового (**II**) производных. Для (**I**) и (**II**) параметры элементарной ячейки кристалла и трехмерный набор интенсивностей получены на автодифрактометре 'Xcalibur, Eos' (MoK $\alpha$ -излучение, графитовый монохроматор).

Светло-желтые монокристаллы **I** — C<sub>25</sub>H<sub>29</sub>NO<sub>5</sub>S исследовали при температуре 100 K M = 455,55 — триклинические:  $a = 5,8144(3)$ ,  $b = 11,3680(5)$ ,  $c = 18,1682(9)$  Å,  $\alpha = 97,648(4)$ ,  $\beta = 95,955(4)$ ,  $\gamma = 103,149(4)$ °,  $V = 1147,8(1)$  Å<sup>3</sup>,  $Z = 2$ ,  $\rho(\text{выч.}) = 1,318$  г/см<sup>3</sup>,  $\mu(\text{MoK}\alpha) = 0,178$  мм<sup>-1</sup>, пр. гр. P-1. Интенсивности 8419 рефлексов измерены в интервале углов ( $2\theta \leq 53,0$ °) методом  $\omega$ -сканирования с монокристалла размерами 0,50×0,13×0,10 мм. Проведен эмпирический учет поглощения по процедуре Multiscan. После исключения систематически погашенных рефлексов и усреднения интенсивностей эквивалентных рефлексов рабочий массив измеренных  $F^2(hkl)$  и  $\sigma(F^2)$  составил 4738 независимых рефлексов, из которых 3782 с  $F^2 > 2\sigma(F^2)$ . Структура расшифрована прямым методом и уточнена полноматричным методом наименьших квадратов (МНК) по  $F^2$  по программе SHELXTL в анизотропном приближении для неводородных атомов, в кристаллической структуре **I** большинство атомов H были локализованы в синтезе Фурье разностной электронной плотности, далее координаты и изотропные тепловые параметры всех атомов H вычислялись в процедуре МНК по модели "наездника". В последнем цикле полноматричного уточнения абсолютные сдвиги всех 289 варьируемых параметров структуры были меньше 0,001  $\sigma$ . Конечные параметры уточнения:  $R_1 = 0,045$ ,  $R_w = 0,10$ ; GOOF 1,04 по наблюдаемым отражениям. После завершения уточнения максимальное и минимальное значения разностной электронной плотности составили 0,273 и -0,339 e/Å<sup>3</sup>.

Аналогичные значения для светло-желтых монокристаллов **II** — C<sub>31</sub>H<sub>33</sub>NO<sub>5</sub>S, 150 K, M = 531,64, — моноклинические:  $a = 17,0584(2)$ ,  $b = 8,70286(11)$ ,  $c = 18,8920(2)$  Å,  $\beta = 95,4646(11)$ °,  $V = 2791,90(6)$  Å<sup>3</sup>,  $Z = 4$ ,  $\rho(\text{выч.}) = 1,265$  г/см<sup>3</sup>,  $\mu(\text{MoK}\alpha) = 0,156$  мм<sup>-1</sup>, пр. гр. P2(1)/n. Интенсивности 31308 рефлексов измерены в интервале углов ( $2\theta \leq 62,0$ °) с монокристалла размерами 0,38×0,25×0,18 мм, 8908 независимых рефлексов, из которых 7417 с  $F^2 > 2\sigma(F^2)$ . В последнем цикле полноматричного уточнения абсолютные сдвиги всех 343 варьируемых параметров структуры были меньше 0,001  $\sigma$ . Конечные параметры уточнения:  $R_1 = 0,0404$ ,  $R_w = 0,10$ ; GOOF 1,04 по наблюдаемым отражениям. После завершения уточнения максимальное и минимальное значения разностной электронной плотности составили 0,386 и -0,364 e/Å<sup>3</sup>. Строение **I** и **II** представлено на рисунке. Все расчеты выполнены с использованием комплекса программ SHELXTL [8]. CIF-файлы, содержащие полную информацию об исследованных структурах,



Строение **I** и **II** в проекции на плоскость наименьшего перекрывания

депонированы в CCDC под номерами 1424555 и 1424556, откуда могут быть свободно получены по запросу на интернет-сайте: [www.ccdc.cam.ac.uk/data\\_request/cif](http://www.ccdc.cam.ac.uk/data_request/cif).

К настоящему времени исследовано строение целого ряда соединений  $\beta$ -трополона с различными заместителями в хинолиновой части (см. [ 9 ] и библиографию в ней), в которых реализуется сильная внутримолекулярная водородная связь H(1)...O(2) (в обозначениях рисунка). В исследованных соединениях I и II детали строения хинолинового и трополонового фрагментов близки к полученным ранее [ 9 ], это касается и параметров возможного хелатного цикла в процессе комплексообразования — фрагмента N—C—C—C—O—H (в скобках значения для II): N—H(1) = 0,86 (0,90), H(1)...O(2) = 1,72 (1,64), N—O(2) = 2,445(2) (2,471(2)) Å; угол N—H(1)—O(2) = 140 (151) $^{\circ}$ .

Можно предположить, что в данных соединениях помимо возможной координации за счет атома кислорода при атоме углерода в 8 положении гидроксихинолина, как это описано в [ 7 ], наличие в исследованных молекулах атомов кислорода SO<sub>2</sub>-групп и перспектива разворота фрагмента вокруг связи C—O расширит возможности исследованных соединений за счет привлечения "дополнительных" атомов кислорода, как это наблюдается для комплексов цинка [ 10 ] и магния [ 11 ], в которых атомы кислорода S=O групп фрагмента участвуют в комплексообразовании.

Авторы благодарят А.А. Колодину за предоставление образцов для исследования, И.Е. Михайлова за интерес к работе и Программу фундаментальных исследований Президиума РАН "Разработка методов получения химических веществ и создание новых материалов" за финансовую поддержку.

#### СПИСОК ЛИТЕРАТУРЫ

1. Komissarov V., Bang D., Minkin V., Aldoshin S., Tkachev V., Shilov G. // Mendeleev Commun. – 2003. – **13**, N 5. – P. 219.
2. Ishihara M., Wakabayashi H., Motohashi N., Sakagami H. // Anticancer Res. – 2010. – **30**. – P. 129.
3. Koufaki M., Theodorou E., Alexi X., Nikoloudaki F., Alexis M.N. // Eur. J. Med. Chem. – 2010. – **45**. – P. 1107.
4. Bandgar B.P., Totre J.V., Gawande S.S., Khobragade C.N., Warangkar S.C., Kadam P.D. // Bioorg. Med. Chem. – 2010. – **18**. – P. 6149.
5. (a) Hunga L.S., Chen C.H. // Mater. Sci. Engineer. – 2002. – **39**. – P. 143. (b) Mikhailov I.E., Dushenko G.A., Starikov D.A., Mikhailova O.I., Minkin V.I. // Vestn. Yuzhn. Nauch. Tsentr. – 2010. – **6**. – P. 32.
6. Zhang H., Wang Q.-L., Jiang Y.-B. // Tetrahedron Lett. – 2007. – **48**. – P. 3959.
7. Михайлов И.Е., Колодина А.А., Душенко Г.А., Артюшкина Ю.М., Ткачев В.В., Алдошин С.М., Саягин Ю.А., Минкин В.И. // Химия гетероциклических соединений. – 2014. – № 6. – С. 897 – 907.
8. Sheldrick G.M. (8/06/2000). SHELXTL v. 6.14, Structure Determination Software Suite, Bruker AXS, Madison, Wisconsin, USA.
9. Саягин Ю.А., Тупаева И.О., Гусаков Е.А., Шилов Г.В., Ткачев В.В., Алдошин С.М., Минкин В.И. // Докл. АН. – 2015. – **460**, № 4. – С. 412.
10. Shuangliu Zhou, Yongyao Jiang, Tao Xie, Zhanshuan Wu, Linmin Zhou, Wenjing Xu, Lijun Zhang, Shaowu Wang. // Chin. J. Chem. – 2012. – **30**. – P. 2176.
11. Po-Sheng Chen, Yi-Chang Liu, Chia-Her Lin, Bao-Tsan Ko. // J. Polym. Sci., Part A: Polym. Chem. – 2011. – **48**. – P. 3564.